

# FCFS スケジューリング型カーバと待ち行列網モデルの近似解析手法

山本 彰, 西垣 通

(日立製作所システム開発研究所)

## 1. はじめに

計算機システムの構成設計に際し、システム設計者は、各設計段階において、要求性能の実現性を確認する必要がある。性能予測手法には、シミュレーション手法と解析的手法があるが、設計の初期段階においては、精度よりもむしろ、多くの代替案の評価、及び、予測作業のコスト低減化などが重要なため、しばしば後者が用いられる。

解析的手法の中では、待ち行列網モデルが一般的である。Baskett<sup>1)</sup>らは、待ち行列網モデルにおいて、すべてのカーバがある定められた条件を満たした時に限り、その解が積形解となることを明らかにした。ここで、カーバとは待ち行列網モデルの構成要素を指す。また、ここでは、積形解が得られる条件を満足するカーバをBCMP型(Baskett, Chandy, Muntz, Palacios)カーバ、そうでないカーバを非BCMP型カーバとよぶ。

積形解を持たない待ち行列網モデルを厳密に解析する場合には、直接、状態方程式を立てて解を得なければならぬが、一般の場合状態数が非常に多くなるため、厳密解を得るのは実用的には不可能である。しかし、現行の計算機システムと待ち行列網モデルとしてモデル化した場合、モデルが積形解を持つことは少ない。これは、I/O装置がBCMP型カーバとしてモデル化できず、CPUはしばしば非BCMP型カーバとなるためである。例えば、優先度の処理要求の間でしばしば用いられるFCFS(First-Come-First-Served)スケジューリングの場合には、サービス時間分布が指数分布で、かつ、すべてのクラスのカースタックが等しい時以外はBCMP型カーバとはならない。ここで、クラスとは評価単位となる処理要求の集合であり、例えば、TSSコマンド、バッケ・ジョブなどがそれぞれ一つのクラスにまとめられる。通常、異なるクラス間ではCPUの平均サービス時間は異なるため、FCFSスケジューリングの場合CPUがBCMP型カーバとなるのは希である。また、優先度スケジューリングの場合もCPUはBCMP型カーバとはならない。以下、CPU、I/O装置とモデル化したカーバとそれぞれCPUカーバ、I/Oカーバと呼ぶ。

以上の様な背景のもとに、積形解を持たない待ち行列網モデルと近似的に解析する研究がさかんに行われてきた。筆者らは<sup>2,4)</sup>、モデル内のボトルネック資源に着目し、平均応答時間が有する漸近解を得る手法を提案している。しかし、漸近解の場合には、確率的に生ずる待ちと評価できないため、明確なボトルネック資源が存在しない時、十分な精度が得られないという問題があった。

一方、Sauer<sup>6)</sup>, Reiser<sup>7)</sup>, Serco<sup>8)</sup>らは、それぞれ待ち行列網モデルを基本にした手法を提案している。Sauerは、Norton<sup>5)</sup>の定理を利用した近似手法を提案した。しかし、この手法では、種々のI/Oカーバ(BCMP型カーバ)を縮造したカーバとCPUカーバ(非BCMP型カーバ)の解析は厳密に行うため、クラス数、多重度(処理要求の数)の増加に伴い必要なメモリ量が大幅に増える。

Reiser<sup>7)</sup>, Serco<sup>8)</sup>らの近似手法は、2レベルの割り込み型優先度スケジューリングを行なっているCPUカーバと、それぞれクラスの処理要求が専用にある

ス丁之ツのサーバに置き換えるというものである。この置き換えにより、待ち行列網は種形解を待つようになる。これらの手法では、種形解を待つ待ち行列網と解析すればよい。Sauer のモデルに比べて必要な計算量、メモリ量は少ない。Reiser のモデルでは異なるプロセスの処理要求が同一の I/O サーバにアクセスすることと許していない。Sevcik のモデルはこの制限を取り除いたものである。池原<sup>7)</sup>は、Sevcik らの考え方をレベルの非割り込み型スケジュールリングに適用している。

しかし、FCS スケジュールリングを行なっている CPU サーバに対してこの考え方を適用した近似手法は、現在の所提案されていない。FCS スケジュールリングは優先度の処理要求の間ではしばしば用いられるため、この問題と解決することは重要である。また、Sevcik らのモデルでは、プロセスはいずれも之であったが、ここでは CPU で各プロセスの FCS スケジュールリングを行なっている待ち行列網モデルにこの考え方を適用する。ここで、平均サービス時間はプロセスごとに異なっており、その分布形は指数分布であるとする。本近似手法では、置き換えられたサーバ群を pseudo サーバ群、個々のサーバを pseudo サーバと呼ぶ。Sevcik は、優先度の低いプロセス用のサーバと高いサーバ（呼称なし）に対して shadow CPU と呼んだ。しかし、ここでは非 BCMP 型サーバと複数の BCMP 型サーバに置き換えているのであるから、CPU サーバに対して、置き換えられたサーバ群を pseudo サーバ群と呼ぶ方が妥当であると考えられる。

本近似手法の特徴は、あるプロセスの処理要求が CPU サーバへ到着した時刻における各プロセスの処理要求の平均滞在時間が、近似したモデルのその時刻における pseudo サーバの平均滞在時間に等しいという仮定を設けた点である。この仮定はモデルが、CPU バウンド、または、I/O バウンドになっている時には厳密に成立する。

第 2 章では、近似手法の基本的な考え方を説明し、第 3 章では、各 pseudo サーバの平均サービス時間を求める。第 4 章では、数値計算により得られた厳密解により本手法の精度検証を行なう。

## 2. 近似手法の概要

本近似手法では、プロセス待ち行列網モデルを取り扱うが、これを回 1 に示す。この待ち行列網モデルは、1 つの CPU サーバと複数の I/O サーバにより構成される。これは、現在の計算機システムの多くが、1 台の CPU と複数の I/O 装置により構成されるためである。

回 1 に示したモデルにおいて、I/O サーバと、実際の I/O 装置の使用形態から考え、各プロセスの平均サービス時間が等しく、その分布形が指数分布で、FCS スケジュールリングを行なっているサーバとする。BCMP 型サーバとしてモデル化する<sup>5)~8)</sup>ことは、しばしば行なわれることである。

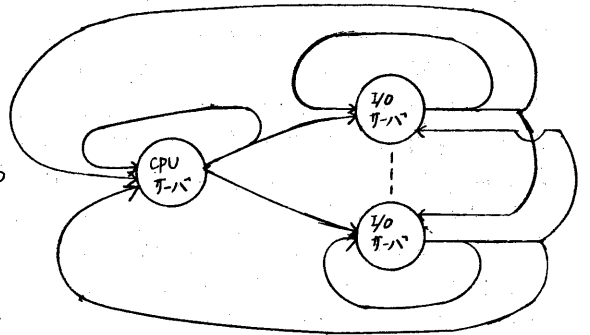


図 1. 本論文における待ち行列網モデル

従って、CPUサーバといくつかのBCMP型サーバに置き換えることにより、すべてのサーバがBCMP型サーバとなるため、待ち行列網モデルを種形解を待つ形に変換することが出来る。

図2にこの置き換えを示す。pseudoサーバの個数はクラス数に等しく、それぞれのクラスの処理要求はそのクラス専用のpseudoサーバのみで処理される。クラスの処理要求が処理されるpseudoサーバとpseudoサーバを呼ぶ。各pseudoサーバは、BCMP型サーバであるため、処理要求のサーバ間時間分布は指数分布でMCSSTジューリングが行われると仮定する。

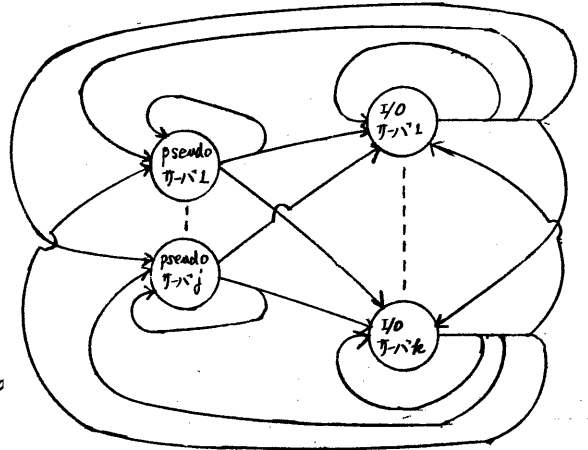


図2. 近似モデル

以上の変換により、近似後のモデルは種形解を待つようになる。しかし、各pseudoサーバには、特定のクラスの処理要求しか到着しないため、近似前のモデルにおいて他のクラスの処理要求により生ずる待ちを評価できない。この待ち時間を反映させるため、pseudoサーバの平均サーバ間時間の調節を行う。他のクラスの処理要求の影響により生ずる待ち時間は、そのサーバのMCSSTジューリング方式により異なる。(Serverから検索した近似手法とその子MCSSTジューリングの場合に適用できないのはこのためである。)従って、近似による誤差を少なくするためには、MCSSTジューリング方式はということも充分考慮して、pseudoサーバの平均サーバ間時間を決めなければならぬ。pseudoサーバの平均サーバ間時間が定まると、近似後のモデルは、待ち行列網モデルの種形解を求める手続を用いることにより求解が可能となる。次章では、各pseudoサーバの平均サーバ間時間を求める。

表1. 記号の定義

### 3. pseudoサーバの平均サーバ間時間の算出

本章では、MCSSTジューリングにおけるpseudoサーバの平均サーバ間時間を求める。表1に、本論文で用いる記号をまとめる。また、クラスの集合をI、I/Oサーバの集合をKとする。

本近似手法では、I/Oサーバに関してはおおむね変換を行っていないため、すべてのクラスの処理要求に関して、処理要求当たりのCPUサーバにおける滞在時間の分布を近似後のモデルで保持することができれば、近似誤差は0

$S_{oi}$ : クラスiの処理要求のCPUサーバの処理当たりの平均サーバ間時間

$S_{ki}$ : I/Oサーバkの処理当たりの平均サーバ間時間

$T_{oi}$ : クラスiの処理要求のCPUサーバの処理当たりの平均滞在時間

$S_{oi}^*$ : pseudoサーバiの処理当たりの平均サーバ間時間  
 $T_{oi}^*$ : 平均滞在時間

$P_{ik}$ : クラスiの処理要求がサーバkからサーバへ遷移する確率。ただし、kがiの場合には、CPUサーバと意味し、k以外の場合には、I/Oサーバと意味する。

$N_i$ : クラスiの処理要求の次数

$N_{oi}$ : クラスiの処理要求がCPUサーバに到着した時刻におけるクラスiの処理要求のCPUサーバの平均滞在数

$N_{oi}^*$ : クラスiの処理要求がpseudoサーバiに到着した時刻におけるpseudoサーバiの平均滞在数

となる。しかし、前章で述べたように、近似後のモデルが種形解を併ったためには、pseudoサーバのリービエ時間分布と指数分布としなければならぬ。従って、滞在時間の分布形を保存することは不可能である。ここでは、滞在時間の平均値のみに着目し、次の仮定を設ける。この仮定が成立した際には、近似後のモデルと近似前のモデルで各プロセスの処理要求のアクセス当たりのCPUサーバの平均滞在時間が等しくなる。

仮定1. 近似前のモデルにおいて、プロセスの処理要求がCPUサーバに到着した時点における各プロセスの処理要求の平均滞在数は、近似後のモデルにおいて、プロセスの処理要求がpseudoサーバに到着した時の各pseudoサーバの平均滞在数に等しい。

仮定1は次式の成立と意味する。

$$N_{0ij} = N_{0ij}^* \quad (\forall i, \forall j \in I) \quad (3.1)$$

仮定1を設けた根拠は、待ち行列網が極端なCPUバウンド、I/Oバウンドになった際には、 $N_{0ij}$ と $N_{0ij}^*$ が同じ値に収束するためである。

待ち行列網モデルがI/Oバウンド、すなわち、ある特定のI/Oサーバの平均リービエ時間が無限大になる時、 $N_{0ij}$ 、 $N_{0ij}^*$ は次式を満たす。

$$\lim_{s_k \rightarrow \infty} N_{0ij} = 0 \quad (\forall i, \forall j \in I, \forall k \in K) \quad (3.2)$$

$$\lim_{s_k \rightarrow \infty} N_{0ij}^* = 0 \quad (\forall i, \forall j \in I, \forall k \in K) \quad (3.3)$$

一方、CPUバウンド、すなわち、すべてのI/Oサーバの平均リービエ時間が0に収束すると、 $N_{0ij}$ 、 $N_{0ij}^*$ は以下に示す値に収束する。

$$\lim_{(s_1, \dots, s_k) \rightarrow (0, \dots, 0)} N_{0ij} = N_j \quad (\forall i, \forall j, \text{ただし, } i \neq j) \quad (3.4)$$

$$\lim_{(s_1, \dots, s_k) \rightarrow (0, \dots, 0)} N_{0ii} = N_i - 1 \quad (\forall i \in I) \quad (3.5)$$

$$\lim_{(s_1, \dots, s_k) \rightarrow (0, \dots, 0)} N_{0ij}^* = N_j \quad (\forall i, \forall j, \text{ただし, } i \neq j) \quad (3.6)$$

$$\lim_{(s_1, \dots, s_k) \rightarrow (0, \dots, 0)} N_{0ii}^* = N_i - 1 \quad (\forall i \in I) \quad (3.7)$$

仮定1を設けたことにより、近似による誤差は、両者に近する負荷バウンドしている時に大きくなると考えられる。

以下、pseudoサーバの平均リービエ時間を導く。MCFSSシステムにおけるサーバにおける平均滞在時間は、処理要求がサーバに到着した時点における平均残余仕事量（ある処理要求が到着した時に、すでにそのサーバに到着している処理要求を終了させるための平均所要時間）に自分自身の平均リービエ時間を加えたものに等しい。近似前のモデルにおいて、各処理要求のCPUサーバにおけるリービエ時間分布は指数分布であるため、現在リービエ中の処理要求の平均残余時間（この処理要求を終了させるまでの平均所要時間）は平均リービエ時間に等しい。従って、各プロセスの処理要求のCPUサーバのアクセス当たりの平均滞在時間は次式を満たす。

$$T_{0i} = S_{0i} + \sum_j N_{0ij} S_{0j} \quad (\forall i, \forall j \in I) \quad (3.8)$$

同様の理由で、近似後のモデルにおいて、各pseudoサーバにおけるアクセス当たりの平均滞在時間は次式を満たす。

$$T_{0i}^* = S_{0i}^* + N_{0ii}^* S_{0i}^* \quad (\forall i \in I) \quad (3.9)$$

(3.8)、(3.9)式より、 $T_{0i}$ と $T_{0i}^*$ が等しい時、 $S_{0i}$ は次式を満たす。

$$S_{0i} = (S_{0i} + \sum_j N_{0ij} S_{0j}) / (1 + N_{0ii}) \quad (\forall i, \forall j \in I) \quad (3.10)$$

(3.10)式に仮定1, 7をわろ, (3.1)式を適用すると次式が得られる。

$$S_{oi}^* = S_{oi} + \left( \sum_j N_{oj}^* S_{oj} \right) / (1 + N_{oi}^*) \quad (\forall i \in I, \forall j \in I - \{i\}) \quad (3.11)$$

(3.11)式において、 $N_{oj}^*$  ( $N_{oi}^*$ は $N_{oj}^*$ に含まれる。)が未知数である。以下、 $N_{oj}^*$ を求めろ。

近似後のモデルは、種形解を扱う。種形解を扱う待ち行列網モデルにおいては、処理要求がサーバに到着した時点における待ち行列網状態の確率分布に関して以下の定理が成立する。

定理1. 7ラズiの処理要求がある時点のサーバに到着した時点における待ち行列網状態の確率分布は、7ラズiの処理要求を1減じた(全時間に関する)待ち行列網状態の確率分布に等しい。

従って、 $N_{oj}^*$ は7ラズiの処理要求を1減じたモデルの種形解を得、これよりpseudoサーバの平均滞在数と算出することにより得られる。

待ち行列網の種形解を得るのに必要な情報は、各処理要求の各サーバに到着する平均サービス時間、サーバ間の遷移確率、多重度である。ここでは、 $S_{oi}^*$ ,  $S_{ij}$ ,  $P_{ik}$ ,  $N_i$ がこれらに相当する。これらの要素をそれぞれ、7ラズ, サーバ間としてベクトル化したものを、 $S_o^*$ ,  $S$ ,  $R$ ,  $N$ とする。これらの情報を入力として、種形解を得、pseudoサーバの平均滞在数と得る関数と $f_j$ , また $N$ から7ラズiの処理要求を1減じたベクトルと $N_i$ とすると、定理1より次式が成立する。

$$N_{oj}^* = f_j(S_o^*, S, R, N_i) \quad (\forall i, \forall j \in I) \quad (3.12)$$

(3.12)式を(3.10)式に代入すると次式が得られる。

$$S_{oi}^* = S_{oi} + \left( \sum_j f_j(S_o^*, S, R, N_i) \cdot S_{oj} \right) / (1 + f_i(S_o^*, S, R, N_i)) \quad (\forall i \in I, \forall j \in I - \{i\}) \quad (3.13)$$

ただし、(3.13)式は右辺に、 $S_o^*$ を含むため、これより直ちに、 $S_{oi}^*$ を得ることはできない。ここでは、 $S_{oi}^*$ の上限値と下限値を求め、 $S_{oi}^*$ が取り得る値の範囲を得、次に二分探索法により(3.13)式を満たす $S_{oi}^*$ のセット、7をわろ、 $S_o^*$ を定める手法をとる。

まず、 $S_{oi}^*$ が取り得る上限値と下限値を示す。 $S_{oi}^*$ の下限値は、7ラズiと除いたすべての7ラズの $f_j$ が0の時である。一方、上限値は明らかに、 $f_i = 0$ ,  $f_j = N_j$  ( $\forall j \in I - \{i\}$ )が成立した時である。これにより、上限値、下限値は次式を満たす。

$$\text{MAX}(S_{oi}^*) = S_{oi} + \sum_j N_j S_{oj} \quad (\forall i \in I, \forall j \in I - \{i\}) \quad (3.14)$$

$$\text{MIN}(S_{oi}^*) = S_{oi} \quad (\forall i \in I) \quad (3.15)$$

以上により、すべての7ラズの $S_{oi}^*$ の上限値と下限値が定まるため、二分探索法により、 $S_o^*$  (すべての7ラズの $S_{oi}^*$ )を得ることとなる。ただし、二分探索法で得られる解は厳密解ではなく数値解であるため、精度を上げようとするとき計算量が増大する。

$S_o^*$ , 7をわろ, 7すべての7ラズのpseudoサーバの平均サービス時間からみると、種形解を扱う待ち行列網を解ける手段とまったく同様の手段で、近似モデルの解けるが可能となる。本章では、以上述べてきた手法に従って得た近似解の精度検証を行う。

4. 近似手法の精度検証

本章では、数値計算により得た厳密解と近似解と比較することにより、近似手法の精度検証を行なう。

図3に、精度検証に用いたモデルを示す。クラス数は2で、処理要求の多重度が、それぞれ2、3の場合について精度検証を行なった。それぞれのクラスの平均応答時間のCPUリーコス時間比:  $C (= S_{02}/S_{01})$  は1~10まで適当に選取した。また、CPUバウンド、I/Oバウンドと表わす指標  $B$  と  $(2/(S_1(P_{101} + P_{201}) + P_{201})) / (1/S_{01} + 1/S_{02})$  として、 $B$  が  $1/100 \sim 100$  の範囲についての評価を行なった。 $B$  は、それぞれのクラスの処理要求のCPUリーバの完了率の和とI/Oサーバの完了率に平均応答時間を重みづけしたものの和の比である。 $B$  が1より充分小さい時、I/Oバウンド、1より充分大きい時、CPUバウンド、1附近 ( $S_{01} = S_{02}$  の時には、 $B = 1$  の時が、最も負荷がバランスしているが、 $S_{01} \neq S_{02}$  の時にはこれが成立しない。)の時、負荷がバランスしていることになる。

図4~7に評価結果をまとめる。評価項目はそれぞれのクラスの平均応答時間である。図2、縦軸は平均応答時間の相対誤差で、横軸は  $B$  (新数値盛り) である。 $C$  が、1, 2, 5, 10 の場合とそれぞれ1本のグラフにまとめた。図4はそれぞれの多重度が2の場合のクラス1 (CPUのリー

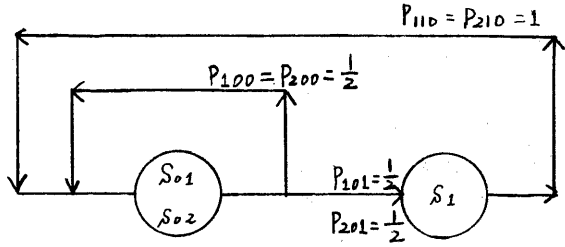


図3. 厳密解との精度検証に用いたモデル

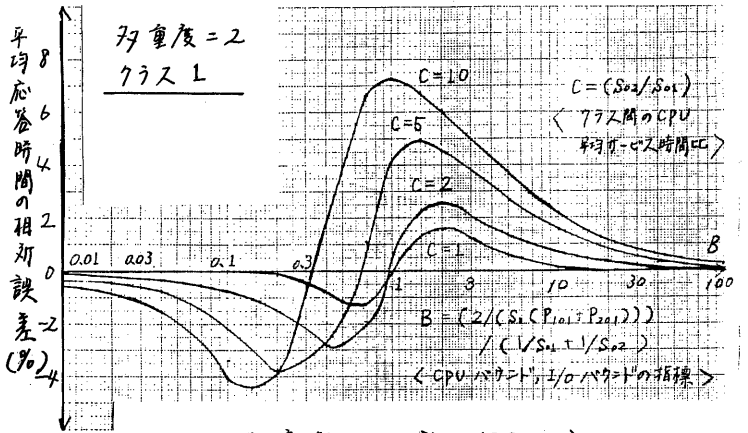


図4. 厳密解による評価結果(1)

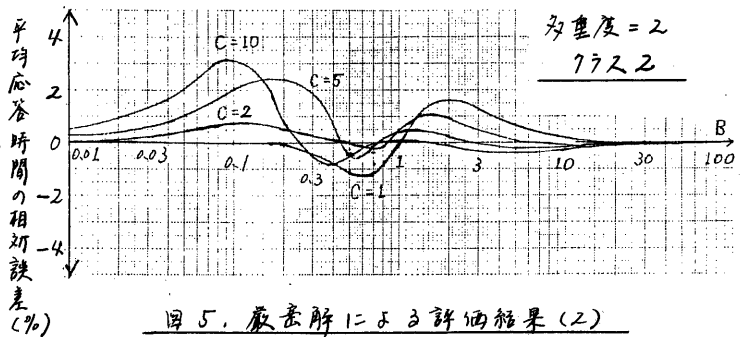


図5. 厳密解による評価結果(2)

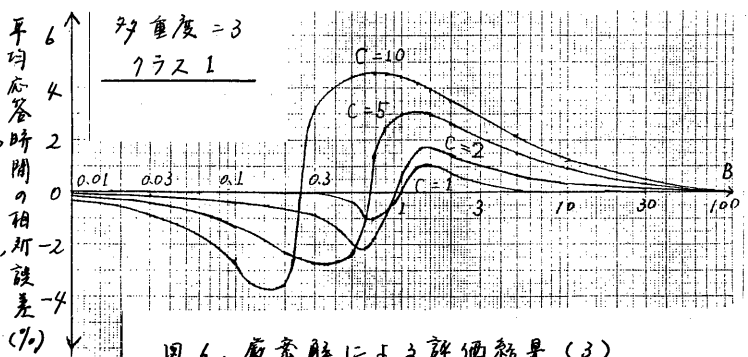


図6. 厳密解による評価結果(3)

又時間小)の評価結果であり、  
 図5は同様の場合の7クラス  
 の評価結果である。図6.7は  
 多重度が3の場合のそれぞれ  
 の7クラスの評価結果である。  
 評価結果を見ると、前章で  
 述べたように、負荷がバラン  
 スしている時には誤差が小さ  
 く、CPUバウンド、I/Oバ  
 ウンドの時にはほとんど誤差  
 (%)

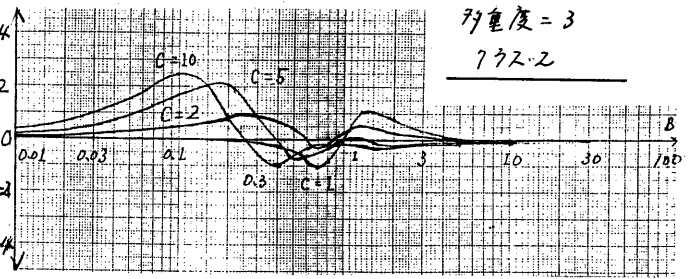


図7. 厳密解との評価結果(K)

がないことがわかる。それ以外には、多重度が増すと誤差が小さくなること、C  
 が大きくなると誤差が大きくなることかわかる。各クラスごとに結果を見ると、  
 クラス1は、負荷がバランスしている領域からI/Oバウンドによる領域では、近  
 似解は厳密解に比べて過小評価となる。一方、負荷がバランスしている領域から  
 CPUバウンドによる領域では過大評価となる。クラス2の場合には、負荷が  
 バランスしている領域からI/Oバウンドによる領域では、過大評価となるが、  
 バランスしている領域からCPUバウンド領域にかけては、誤差は小さい。以上  
 が主な結果であるが、両クラスのCPUカーゴ又時間の比(C)が10以下であれば、  
 誤差は最も小さくなるポイントにおいても7%程度である。これは、計算機  
 システムの初期設計段階においてその方向的挙動を予測することと目的とした場  
 合には、本手法が十分に有用であることを示している。

4. おわりに

7クラスごとに平均カーゴ又時間が異なる(分布はすべて指数分布)処理要求に  
 対して円C円Sステジューリングを行なうカーバと有する待ち行列モデルを解  
 析するための近似手法を提案した。本近似手法は、このカーバと7クラス数に等し  
 いpseudoカーバと呼ばれるカーバ群に置き換えることにより、待ち行列モデル  
 と種別解が得られる形に変換するものである。解析に当たって、近似前のモデルに  
 おいてある7クラスの処理要求が置き換える対象となるカーバに到着した時刻にお  
 ける各7クラスの処理要求の滞在数:  $N_{ij}$  が、近似後のモデルにおいて、この処理要  
 求がpseudoカーバに到着した時刻における各pseudoカーバの処理要求の滞在数:  
 $N'_{ij}$  と等しいということと仮定している。  $N_{ij}$  と  $N'_{ij}$  は、モデルがI/Oバウンド、ま  
 たは、CPUバウンドになると同じ値に収束する。従って、本近似手法は負荷がバ  
 ランスしている領域では近似による誤差が小さいが、CPUバウンド、または、I/O  
 バウンドの領域では、誤差は小さいことになる。

数値計算で得た厳密解とシミュレーションによって得た解によって本手法の精  
 度検証を行なった。この結果、誤差が大きい負荷がバランスしている領域でも  
 近似誤差は10%未満であったことから、システム設計の初期段階において用いる  
 手法としては、充分有用であるという結論を得た。

今後の課題としては以下の2点について検討中である。

- (1) 他の種別解を持つないステジューリング(例えば、ゼネラル・プロセッサ  
 エプリング)の近似手法の検討
- (2) (3.13)式を満にする解と早く二分探索法で探した場合には、7クラス数が2~

るのであれば問題ないが、さらにクラス数が増加すると必要な計算量が急激に増大する。このための高速アルゴリズムの検討

謝辞 終わりに、本研究について御指導いただいた東京電気通信大学亀田壽天郎教授，ならびに本研究の機会と与えて下さった当社システム開発研究所川崎淳所長，有益な助言と与えて下さった同研究所又町一彦主任研究員，北嶋弘行主任研究員，本山博司研究員，山下俊之研究員に深く感謝いたします。

(参考文献)

- 1) Baskett, F. et al : Open, Closed, and Mixed Networks of Queues with Different Classes of Customers, J. ACM, Vol. 22, No. 2, pp. 248-260 (1975)
- 2) Nishigaki, T. et al : An Approach to the GRM Performance Analysis by Asymptotic Approximation, JIP, Vol. 3, No. 2, pp. 59-67 (1980)
- 3) 西埴, 山本 ; 資源割り当て優先度のあまの重プログラムシステムのボトルネック解析, 情報処理学会論文誌, 第23巻, 第5号, pp. 562-569 (1982)
- 4) 山本, 西埴 ;  $\pi$ -コスト関数による応答時間制御の下での訂算機システム性能のボトルネック解析, 情報処理学会論文誌, 第24巻, 第5号, (1983) (採録誌)
- 5) Chandy, K. M. et al : Parametric Analysis of Queueing Networks, IBM J. of R. & D., Vol. 19, No. 1, pp. 36-42 (1975)
- 6) Sauer, C. H. et al : Approximate Analysis of Central Server Models, IBM J. of R. & D., Vol. 19, No. 2, pp. 201-13 (1975)
- 7) Reiser, M. et al : Interactive Modeling of Computer Systems, IBM Syst. J., Vol. 15, No. 4, pp. 309-327 (1976)
- 8) Sevcik, K. C. : Priority Scheduling Disciplines in Queueing Network Models of Computer Systems, Proc., IJIP 77, pp. 565-570 (1977)
- 9) 池原, その他 ; 非割り当て優先処理のあまの調整待ち行列の近似解析, 情報処理学会「訂算機システムの解析と制御」研究会資料12, pp. 12-1-1~10 (1981)
- 10) Sevcik, K. C. et al : The Distribution of Queueing Network States at Input and Output Instants, J. ACM, Vol. 28, No. 2, pp. 358-71 (1981)
- 11) Kleinrock, L. : Queueing Systems, Vol. 1, John Wiley (1975)